

توانایی مدل فرسایش دامنه‌ای در تخمین رسوب ناشی از رگبارها در پلات‌های استاندارد فرسایشی با شبیه‌های مختلف در کاربری مرتع

سید حمیدرضا صادقی^{۱*}، سمیه فضلی^۲، حمزه نور^۳ و حشمت‌الله آقارضی^۴

تاریخ دریافت: ۸۸/۸/۲۰ – تاریخ پذیرش: ۱۵/۱۰/۸۹

چکیده

ارزیابی فرسایش خاک با استفاده از مدل‌های موجود به عنوان یکی از ابزارهای مهم مدیریتی و تبیین شیوه‌های صحیح حفاظت منابع آب و خاک ضروری است. تحقیق حاضر با هدف ارزیابی کارایی مدل فرسایش دامنه‌ای (HEM) به عنوان یکی از جدیدترین مدل‌های برآورد فرسایش، برای برآورد رسوب ناشی از رگبارها در پلات‌های مرتعی با شبیه ۹، ۱۵، ۲۰ و ۲۵ درصد واقع در ایستگاه تحقیقات منابع طبیعی خسیجان اراک انجام شد. در این راستا داده‌های مربوط به ۱۶ رگبار به همراه رسوب و رواناب حاصل از آنها جمع‌آوری شد. بهمنظور اجرای مدل، ورودی‌های مورد نیاز آن شامل ارتفاع روان‌آب، درصد پوشش تاجی، درصد پوشش زمینی، بافت خاک، درصد و طول شبیه برای هر کرت وارد مدل شد. نتایج نشان داد که مدل بدون واسنجی در هیچ یک از شبیه‌ها قادر به برآورد دقیق میزان رسوب نبوده است. نتایج حاصل از واسنجی عامل فرسایش‌پذیری خاک و برآش روابط رگرسیونی بین داده‌های مشاهده‌ای و برآورده دلالت بر عدم کارایی مدل در شبیه‌های ۹ و ۱۵ درصد با ضریب تبیین کمتر از $P \geq 0.135$ داشته است. در حالی که توانایی مدل ذکر شده در شبیه‌های ۲۰ و ۲۵ درصد با اختصاص مقدار فرسایش‌پذیری $P = 0.041$ و $P = 0.000$ ($P < 0.001$) و خطای تخمین بهتر ترتیب ۵۶ و ۳۵ درصد قابل قبول و خوب ارزیابی شد. نتایج حاصل از تحقیق حاضر زمینه‌ساز استفاده از مدل مذبور در ارزیابی تولید رسوب در مناطق مرتعی با شرایط حاکم مشابه با شرایط تحقیق و مدیریت مناسب آب و خاک آنهاست.

واژه‌های کلیدی: ایستگاه تحقیقاتی خسیجان، پلات فرسایشی، مدل فرسایش دامنه‌ای (HEM)، کاربری مرتع، مدل فرسایشی.

۱- دانشیار دانشکده منابع طبیعی، دانشگاه تربیت مدرس

*: نویسنده مسئول: sadeghi@modares.ac.ir

۲- دانش آموخته دانشکده منابع طبیعی، دانشگاه تربیت مدرس

۳- دانشجوی دکتری دانشکده منابع طبیعی، دانشگاه تربیت مدرس

۴- عضو هیأت علمی مرکز تحقیقات کشاورزی و منابع طبیعی استان مرکزی

Archive of SID

و آب می‌شود. مدل سازی فرآیند فرسایش خاک در سطح دامنه از دهه ۱۹۴۰ توسط الیسون و همکاران آغاز و سپس به صورت روابطی در دهه ۱۹۶۰ توسط میر و ویشمایر ارایه شد (۱۲)، در دهه ۱۹۷۰ فوستر توانایی مدل‌ها در تشریح متغیرهای مکانی فرسایش در سطح دامنه و تفکیک فرسایش شیاری و بین‌شیاری را به اثبات رساند (۱۲).

مدل فرسایش دامنه‌ای^۱ (HEM)، مدلی توزیعی و در مقیاس رگبار است که توسط لین و همکاران (۱۱، ۱۲، ۱۳) و (۱۴) در مرکز تحقیقات حوزه آبخیز توسعه کشاورزی امریکا^۲ و در مراتع خشک و نیمه‌خشک امریکا تهیه و ارایه شده است. مدل بر اساس رابطه ریاضی میان مقدار رسوب، روان آب، خصوصیات دامنه و عامل فرسایش‌پذیری خاک عمل می‌کند. این مدل مقدار فرسایش و تولید رسوب در سطح یک دامنه و در مقیاس رگبار را تخمین می‌زند. HEM بر پایه حل معادلات موج سینماتیک برای معادلات پیوسته جریان سطحی و روان آب در نیم‌رخ دامنه برای یک واقعه روان آب (رابطه ۱) استوار بوده و فرسایش شیاری، بین‌شیاری، فرآیندهای حمل و رسوب‌گذاری را ارزیابی می‌کند (۵، ۱۸ و ۲۳).

$$Q(x) = QC_b = Q \left\{ \frac{B}{K} + \left(K_i - \frac{B}{K} \right) \left[1 - \exp(-k_r x) \right] \right\} / k_r x \quad (1)$$

در این رابطه: Q : کل میزان بار رسوب برای یک روان آب در واحد عرض بحسب کیلوگرم بر متر، Q : حجم روان آب در واحد عرض بر حسب مترمکعب بر متر، C_b : میانگین غلظت رسوب در هیدروگراف کل بر حسب کیلوگرم بر مترمکعب و k_r : فاصله در جهت جریان روان آب بر حسب متر است. ضرایب مربوط به حمل رسوب (B)، عمق‌دبی (K)، فرسایش شیاری (K_r) و فرسایش بین‌شیاری (K_b) با استفاده از متغیرهای تاج پوشش، طول شیب، پوشش گیاهی و شیب، بر اساس معادلات حاکم بر محاسبه فرسایش شیاری و بین‌شیاری و به طور خودکار توسط مدل محاسبه می‌شود. این مدل در تارنما^۳ نیز قابل دسترس بوده و اطلاعات ورودی آن شامل حجم روان آب در واحد سطح بر حسب میلی‌متر، بافت خاک، ویژگی‌های

مقدمه

فرسایش خاک از مهم‌ترین معضلات زیست‌محیطی و تولید غذا در جهان است که تأثیرات محرّکی بر زیست بوم‌های طبیعی و تحت مدیریت انسان دارد. هر چند فرسایش خاک در طول تاریخ وجود داشته، ولی در سال‌های اخیر به دلیل کاربری نامناسب اراضی شدت یافته است (۲۲). فرسایش خاک علاوه بر آثار سویی که در منطقه فرسایش یافته بر جای می‌گذارد، دارای مشکلات بروز منطقه‌ای فراوانی است. رسوبات حاصل از فرآیند فرسایش خاک پس از حمل توسط آبهای جاری در مناطق کم‌شیب بر جای گذاشته می‌شود. برآورد بار رسوب حوزه‌های آبخیز برای حل مشکلاتی مانند انتقال آلاینده‌ها، برنامه‌ریزی عملیات حفاظت خاک، طراحی سدها و مخازن، تعیین فاکتورهای مؤثر مدیریت آبخیز، ارزش‌گذاری پژوهش‌های آبی (۲۴)، حفاظت از زیست‌گاه آبیان و ارزیابی مشکلات محیط‌زیست لازم است (۴).

برآورد مقادیر رسوب از طریق ایستگاه‌های رسوب سنگی و استفاده از اندازه‌گیری‌های زمینی پرهزینه و مشکل است، بنابراین یافتن روش‌هایی برای برآورد دقیق میزان رسوب‌دهی حوزه‌های آبخیز امری ضروری است. بدین‌منظور تحقیقات و بررسی‌های گستردگی‌های در زمینه برآورد فرسایش خاک در حوزه‌های آبخیز از سال‌ها پیش آغاز شده که منجر به ارایه مدل‌های تجربی و فرآیندی برآورد فرسایش و رسوب شد. باید توجه داشت که با وجود پژوهش‌های زیادی که روی مدل‌سازی فرسایش و رسوب صورت گرفته، هنوز انتخاب مدل مورد موردنمی‌گیرد (۱۰). به‌گونه‌ای که اغلب این مدل‌ها در شرایط خاص ایجاد شده‌اند و کاربرد آنها در مناطق دیگر بدون واسنجی باعث ایجاد خطای بالا در میزان رسوب برآورده می‌شود، همچنین ممکن است یک مدل با مفهوم‌سازی صحیح فرآیند فرسایش و رسوب به دلیل در دسترس نبودن اطلاعات ورودی در بسیاری از مناطق کاربردی نداشته باشد (۱۸). از این‌رو واسنجی مدل‌های برآورد فرسایش و رسوب موجود با ورودی‌های زود یافت، منجر به ارزیابی‌های بهتر بار رسوبی و در نتیجه دقیق بیان در طراحی سازه‌های هیدرولیکی و حفاظت خاک

Archive of SID

پایین را به دنبال خواهد داشت (۸). به طور کلی به منظور بررسی کارآیی مدل‌های فرسایش و رسوب در بیشتر مناطق از پلات‌های استاندارد واقع در یک دامنه استفاده و نتایج حاصله به کل منطقه تعمیم داده می‌شود، حال آنکه کارآیی این مدل‌ها در شبیه‌های مختلف ممکن است نتایج متفاوتی در برداشته باشد و کاربرد آن را محدود کند. از این‌رو تحقیق حاضر با توجه به کاربرد محدود و موفق مدل فرسایش دامنه‌ای (HEM) در خارج و داخل کشور، تعداد کم و در دسترس بودن داده‌های ورودی در ایران و قابلیت استفاده از مدل ذکرشده در برآورد رسوب در کاربری مرتع به عنوان یکی از مهم‌ترین زیست‌بوم‌های کشور، در ایستگاه تحقیقات منابع طبیعی خسibiجان واقع در شهرستان اراک به‌دلیل موجود بودن داده‌های بارش، روان‌آب و رسوب در رگبارهای اتفاق افتاده طی سال‌های پیشین و در چهار شبیه مختلف مذکور مطالعه قرار گرفت.

مواد و روش‌ها

تحقیق حاضر در ایستگاه تحقیقات منابع طبیعی خسibiجان واقع در ۶۰ کیلومتری شهرستان اراک در طول شرقی ۴۹ درجه و ۲۲ دقیقه تا ۴۹ درجه و ۲۴ دقیقه و عرض شمالی ۳۴ درجه و ۸ دقیقه تا ۳۴ درجه و ۱۰ دقیقه انجام شده است. ارتفاع منطقه از سطح دریا ۱۸۵۰ متر با دامنه شمالی، بارش سالانه ۳۲۱ میلی‌متر، متوسط حرارت ۱۳/۲ درجه سانتی‌گراد، تبخیر و تعرق ۱۵۸۸ میلی‌متر و اقلیم منطقه طبق روش آمبرژه، خشک و سرد است (۲). تیپ گیاهی غالب منطقه مورد بررسی ASTRAGALUS-HULTEMIA بوده که حدود ۵۰ درصد از سطح ایستگاه و اغلب اراضی دشتی و دامنه‌ای را پوشانده است. پوشش متوسط این تیپ حدود ۴۶ درصد بوده و ترکیب گیاهان موجود به ترتیب گون، ورک، فرفیون و جارو با دامنه پراکنش ۱۴ تا ۳۱ درصد بوده است (۷). موقعیت کلی منطقه و پلات‌های استاندارد فرسایشی در شکل ۱ نشان داده شده است. به منظور سنجش میزان فرسایش و هدررفت خاک، اراضی مرتعی با شبیه‌های ۹، ۱۵، ۲۰ و ۲۵ درصد انتخاب شدند. سپس پلات‌های استاندارد فرسایشی با ابعاد ۲۲/۱×۱/۸ متر (۳) احداث و اطراف آنها با ورق گالوانیزه به ارتفاع ۳۰ سانتی‌متر ۱۵ سانتی‌متر آن

دامنه شامل: شبیه دامنه بر حسب درصد، طول شبیه بر حسب مترا، درصد پوشش گیاهی و درصد پوشش زمینی است (۵، ۱۲، ۱۳، ۱۷، ۲۰ و ۲۶).

تحقیقات در زمینه کاربرد HEM در جهان محدود بوده و شرایط خاصی بر استفاده از آن حاکم بوده است. کوگل و همکاران به ارزیابی کارایی HEM در هند، استرالیا و زلاندنو پرداختند. نتایج تحقیقات آنها نشان داد که این مدل در منطقه زلاندنو نیازی به واسنجی نداشته و با میزان پیشنهادی مدل برای فرسایش‌پذیری خاک، برآورد مناسبی از رسوب در شبیه ۱۵/۶ درصد ارایه داده است. درحالی‌که در هند و استرالیا به منظور بهبود تخمین‌های مدل، میزان فرسایش‌پذیری خاک واسنجی شد. صادقی و همکاران (۲۰۰۸) مدل ذکرشده را در برآورد فرسایش خاک مراعات طبیعی و دست‌کاشت منطقه تالش در استان گیلان از طریق نصب پلات‌های فرسایش در شبیه ۲۱ درصد مورد ارزیابی قرار دادند. نتایج این تحقیق نیز نشان داد که HEM در این منطقه نیازی به واسنجی مقدار فرسایش‌پذیری نداشت. نتایج مدل‌سازی در مرتع طبیعی بر ارتباط توانی و در مرتع دست‌کاشت بر ارتباط خطی بین داده‌های برآورده و مشاهده‌ای دلالت داشته است. در ایران نیز صادقی و همکاران (۲۰۰۹) به ارزیابی کارایی مدل HEM تنها در پلات‌های مرتعی با شبیه ۹ درصد در منطقه خسibiجان اراک پرداختند. بدین‌منظور از داده‌های مربوط به ۱۱ واقعه رگبار استفاده کردند و دریافتند که بدون واسنجی مدل، مقادیر رسوب تخمینی با مقادیر مشاهده‌ای تفاوت معنی‌داری داشته و واسنجی مقدار فرسایش‌پذیری خاک باعث نزدیکی مقادیر رسوب برآورده و مشاهده‌ای شد. آنها همچنین با بررسی انواع مختلف رگرسیون در حالت عادی و تغییر شکل داده‌ها به ارتباط معنی‌داری بین مقادیر مشاهده‌ای و برآورده با مقدار واسنجی‌شده عامل فرسایش‌پذیری خاک معادل ۱/۱ با استفاده از رابطه پلی‌نومیال درجه چهارم دست یافتند.

تخمین میزان تولید رسوب طی یک رگبار به‌ویژه در مناطق خشک و نیمه‌خشک به‌دلیل تعداد کم و در عین حال شدت زیاد رگبارها بسیار حائز اهمیت بوده و گاهی استفاده از مدل نامناسب، تخمین بسیار بالا و یا بسیار

Archive of SID

مربوطه در سه تکرار و در قالب ۳ پلات آزمایشی اجرا شده و مقادیر میانگین استخراج شده از آنها برای آنالیزهای بعدی مورد استفاده قرار گرفت.

در زمین فرو برد شد) محصور شد. در انتهای هر پلات لوله خروجی روان‌آب تعییه که به ظروف مدرج جمع‌آوری کننده روان‌آب و رسوب هدایت شد. تیمار



شکل ۱- موقعیت کلی منطقه مورد مطالعه و شمای کلی پلات‌های مورد بررسی

گرفته شد. در ادامه، داده‌های مربوط به ۱۸ رگبار به‌دست آمده و مورد پالایش آماری قرار گرفت. داده‌های پرت مربوط به ۲ رگبار از مجموع داده‌ها حذف شد. از این تعداد ۱۲ رگبار به‌منظور واسنجی و ۴ داده به‌منظور اعتبارسنجی مورد استفاده قرار گرفت. پس از تهیه و تعیین کلیه ورودی‌ها، مدل برای تمامی رگبارها در پایگاه اینترنتی مدل اجرا و مقادیر رسوب برآورده به ازای مقدار فرسایش‌پذیری پیشنهادی مدل به‌دست آمد.

پس از اطمینان از نرمال بودن داده‌ها، مقایسه میانگین رسوب مشاهده‌ای و رسوب تخمینی HEM با میزان t-student پیشنهادی فرسایش‌پذیری خاک توسط آزمون SPSS 11.5 انجام شد (۰.۲۰). با توجه به ثبات نسبی ویژگی‌های دامنه و امکان تغییر عامل فرسایش‌پذیری خاک، به‌منظور دست‌یابی به بهترین برآورد رسوب، مقدار این عامل در دامنه پیشنهادی مدل تغییر داده شد و مدل در چندین نوبت اجرا شد (۵، ۱۸ و ۰.۲۰)، سپس کلیه داده‌های به‌دست آمده مورد تجزیه آماری قرار گرفت. در این تحقیق ارتباط رگرسیونی دو متغیره بین رسوب مشاهده‌ای به‌عنوان متغیر وابسته و رسوب برآورده به عنوان متغیر مستقل با استفاده از شکل‌های مختلف خطی و غیرخطی

کلیه داده‌های خام و اطلاعات مورد استفاده در تحقیق حاضر از پژوهش‌های تحقیقی انجام شده در منطقه مشابه و با هدف پژوهش‌های فرسایش خاک در کلیری های مختلف (۱، ۲ و ۷) و مجریان آنها جمع‌آوری شده و داده‌های ذکر شده محدود به دوره اجرای طرح‌ها بوده و پس از آن تداوم نیافته است. داده‌های مربوط به بارش و همچنین روان‌آب و محتوى رسوبی آنها و درصد پوشش گیاهی و زمینی برای رگبارهای به‌وقوع پیوسته در فاصله زمانی ۱۳۷۴ تا ۱۳۷۸ و در مقایسه با اطلاعات گزارش شده در تحقیقات انجام شده در منطقه ذکر شده (۰.۲۰) جمع‌آوری و برای تجزیه و تحلیل‌های بعدی مورد استفاده قرار گرفت. حجم روان‌آب در واحد سطح به وسیله ارتفاع آب در ظرف جمع‌آوری کننده روان‌آب به دست آمد. به‌منظور تعیین میزان رسوب، نمونه‌های جمع‌آوری شده طی رگبارها در داخل آون با دمای ۱۰۰ درجه سانتی‌گراد به‌مدت ۲۴ ساعت خشک و سپس وزن رسوب با ترازوی دقیق تعیین و مقدار رسوب بر حسب کیلوگرم محاسبه شد. آمار بارش کل رگبارها به‌کمک نزدیک‌ترین ایستگاه کلیماتولوژی منطقه به‌دست آمد (۱.۰۲).

بافت خاک برای شیب‌های ۹ و ۲۰ درصد کلی‌لومی و برای شیب‌های ۱۵ و ۲۵ درصد سندي -کلی-لوم تعیین و طول شیب در تمام پلات‌ها ۲۲/۱ متر در نظر

Archive of SID

تخمین بهدست آمده در شیب‌های ۹ و ۱۵ درصد، رابطه رگرسیونی میان رسوب مشاهده‌ای و تخمینی مدل، برآزش داده شد.

رابطه‌های بهدست آمده به دلیل عدم معنی‌داری در سطح اعتماد ۵ درصد با مقادیر ضریب تبیین کمتر از $P \geq 0.47$ (قابل قبول ارزیابی نشدند. بنابراین برای دست‌یابی به برآورد قابل قبول مقادیر رسوب رگبار، در منطقه مورد مطالعه واسنجی مدل فرایش دامنه‌ای (HEM) انجام شد. نمایش ترسیمی روند تغییرات مقدار رسوب برآورده حاصل کاربرد مکرر مدل و در مقایسه با رسوب مشاهده‌ای برای تعدادی از مقادیر واسنجی شده عامل فرایش‌پذیری خاک مربوط به شیب ۲۵ درصد در شکل ۳ ارایه شده است.

آنها صورت گرفت. همچنین برای استفاده از مدل‌های دیگر، از رابطه‌ها و مدل‌های موجود در نرم‌افزار Curve Expert نیز استفاده شد. برای تعیین سطح اعتماد مدل‌های بهدست آمده از شاخص‌های سطح معنی‌داری، ضریب تبیین^۱، خطای نسبی^۲ تخمین و تأیید، محدوده میانگین مربعات خطای^۳ و ضریب کارایی^۴ استفاده شد (۶، ۹ و ۱۵).

نتایج

از میان تمامی رگبارها، رگبارهای ۱۳۷۵/۰۲/۰۶، ۱۳۷۸/۰۲/۰۵، ۱۳۷۷/۰۲/۱۵ برای تأیید مدل و بقیه بهمنظور واسنجی مورد استفاده قرار گرفت. داده‌های مربوط به رسوب مشاهده‌ای در شیب‌های مختلف در جدول ۱ خلاصه شده است. عامل فرایش پذیری خاک در تارنماهی مدل اجرا شد. نتایج نشان داد که مدل در شیب‌های ۹ و ۲۰ طی رگبارهای ۱۳۷۷/۰۲/۰۸، ۱۳۷۶/۰۲/۲۷، ۱۳۷۶/۰۲/۲۷، ۱۳۷۷/۰۲/۰۳ و ۱۳۷۷/۰۵/۱۳ و ۱۳۷۶/۰۲/۸ در شیب ۱۵ درصد طی رگبارهای ۱۳۷۷/۰۲/۰۲، ۱۳۷۶/۰۲/۰۳، ۱۳۷۷/۰۵/۱۳ و ۱۳۷۷/۰۲/۰۹ میزان رسوب را کمتر از میزان مشاهده‌ای تخمین زده است و در سایر رگبارها بیش‌تخمینی در برآوردهای مدل دیده می‌شود (شکل ۲). همچنین نتایج مربوط به برآورد رسوب رگبار توسط مدل با میزان فرایش‌پذیری پیشنهادی ۱/۳۸ برای شیب‌های ۹ و ۲۰ درصد و ۰/۵۶ برای شیب‌های ۱۵ و ۲۵ درصد در شکل ۲ ارایه شده است.

مقایسه میانگین‌های مقادیر رسوب مشاهده‌ای و برآورده مدل در میزان پیشنهادی فرایش‌پذیری خاک نشان‌دهنده عدم اختلاف معنی‌دار ($t=1/867$) و $P=0/089$ در شیب‌های ۹ و ۱۵ درصد و معنی‌داری اختلاف ($t=0/129$ و $P=0/090$) در شیب‌های ۲۰ و ۲۵ درصد است. بنابراین از مقادیر تخمینی مدل در شیب‌های ۹ و ۱۵ درصد می‌توان بهمنظور برآورد رسوب رگبار با خطای تخمین بهتر ترتیب ۱۵۹ و ۸۱ درصد استفاده کرد. در ادامه بهمنظور کاهش میزان خطای

1- Determination Coefficient

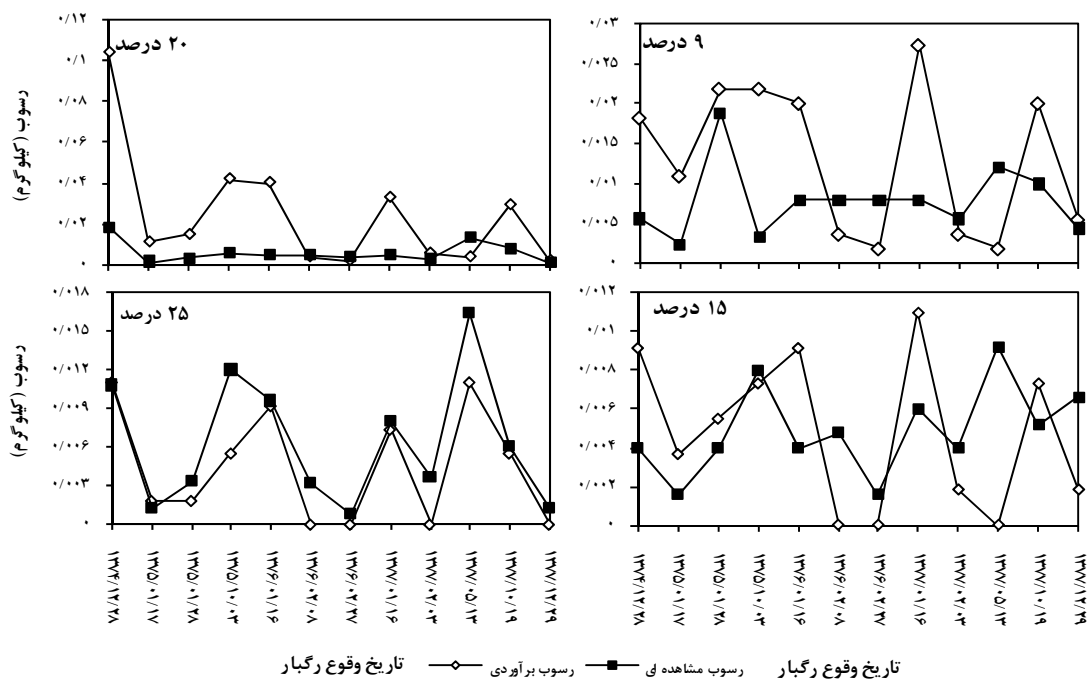
2- Relative Error

3- Root Mean Square of Error

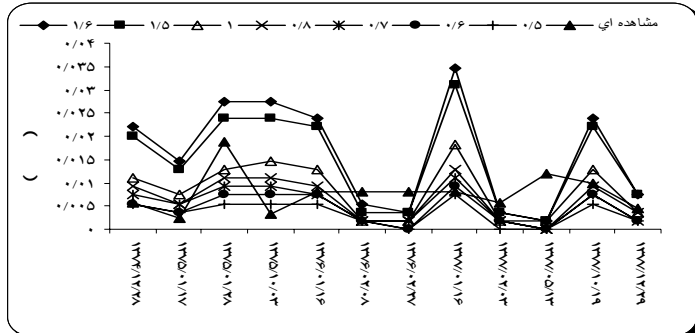
4- Coefficient of Efficiency

جدول ۱- مقادیر رسوبر مشاهده‌ای در هر رگبار در پلات‌های مستقر در شیب‌های مختلف کاربری مرتخ

ردیف	تاریخ رگبار (سانتی‌متر بر ساعت)	شدت بارش	رسوبر مشاهده‌ای در شیب‌های مختلف (کیلوگرم)	درصد ۹	درصد ۱۵	درصد ۲۰	درصد ۲۵
۱	۱۳۷۴/۱۲/۲۸	۰/۴۵	۰/۰۰۶	۰/۰۰۴	۰/۰۱۸	۰/۰۱۱	۰/۰۰۱
۲	۱۳۷۵/۰۱/۱۷	۰/۳۳	۰/۰۰۲	۰/۰۰۲	۰/۰۰۳	۰/۰۰۱	۰/۰۰۳
۳	۱۳۷۵/۰۱/۲۸	۰/۱۶	۰/۰۱۹	۰/۰۰۴	۰/۰۰۳	۰/۰۰۲	۰/۰۰۲
۴	۱۳۷۵/۰۲/۰۶	۰/۶۲	۰/۰۱۶	۰/۰۰۴	۰/۰۰۶	۰/۰۱۲	۰/۰۰۲
۵	۱۳۷۵/۱۰/۰۳	۰/۱۹	۰/۰۳۴	۰/۰۰۸	۰/۰۰۶	۰/۰۰۶	۰/۰۰۱
۶	۱۳۷۶/۰۱/۱۶	۰/۲۸	۰/۰۰۸	۰/۰۰۸	۰/۰۰۴	۰/۰۰۳	۰/۰۰۳
۷	۱۳۷۶/۰۲/۰۸	۰/۳۲	۰/۰۰۸	۰/۰۰۵	۰/۰۰۴	۰/۰۰۴	۰/۰۰۳
۸	۱۳۷۶/۰۲/۱۵	۰/۲۳	۰/۰۰۶	۰/۰۰۲	۰/۰۰۲	۰/۰۰۳	۰/۰۰۳
۹	۱۳۷۶/۰۲/۲۷	۰/۲۳	۰/۰۰۸	۰/۰۰۲	۰/۰۰۴	۰/۰۰۱	۰/۰۰۱
۱۰	۱۳۷۷/۰۱/۱۶	۰/۴۰	۰/۰۰۸	۰/۰۰۶	۰/۰۰۴	۰/۰۰۴	۰/۰۰۸
۱۱	۱۳۷۷/۰۲/۰۳	۰/۲۸	۰/۰۰۶	۰/۰۰۴	۰/۰۰۹	۰/۰۹۴	۰/۱۲۵
۱۲	۱۳۷۷/۰۲/۱۵	۰/۶۸	۰/۰۰۴	۰/۰۱۲	۰/۱۵۲	۰/۱۲۵	۱/۱۰۰
۱۳	۱۳۷۷/۰۵/۱۳	۱/۴	۰/۰۱۲	۰/۰۰۹	۰/۰۷۱	۰/۱۰۰	۰/۱۷۲
۱۴	۱۳۷۷/۱۰/۱۹	۰/۳۴	۰/۰۱۰	۰/۰۰۵	۰/۰۲۰	۰/۰۲۶	۰/۰۲۶
۱۵	۱۳۷۷/۱۲/۲۹	۰/۲۴	۰/۰۰۴	۰/۰۰۷	۰/۰۱۴	۰/۰۱۷	۰/۰۱۷
۱۶	۱۳۷۸/۰۲/۰۵	۰/۶۰	۰/۰۰۲	۰/۰۰۱	۰/۰۱۱	۰/۰۱۷	۰/۰۱۷



شكل ۲- رسوبر مشاهده‌ای و برآورده با میزان پیشنهادی فرسایش پذیری خاک ۱/۳۸ برای شیب‌های ۹ و ۲۰ (بالا) و ۱۵ و ۲۵ درصد (پایین) (در پلات‌های فرسایشی مستقر در کاربری مرتخ در خسبیجان اراک)



شکل ۳- رسوب مشاهده‌ای و برآورده‌ی با مقادیر مختلف واسنجی شده فرسایش پذیری (۰/۵ تا ۱/۶) (در پلات‌های مستقر در شیب ۲۵ درصد کاربری مرتعب)

از بازش رگرسیونی در شیب‌های ۲۰ و ۲۵ درصد مبین وجود رابطه معنی‌دار میان رسوب مشاهده‌ای و تخمینی است، از میان روابط به دست آمده، روابط درجه دو و بیش تر و صرفنظر از برخورداری نسبی از عملکرد بهتر در مقایسه با سایر مدل‌ها به دلیل عدم ارایه روند مشخص و نیز تغییرات نوسانی آنها از مجموع روابط حذف شدن. همچنین مدل‌های موجود در نرم‌افزار Curve Expert برای دست‌یابی به مدل‌های برتر در شیب ۲۰ درصد استفاده شد و با وجود عدم استفاده از بسیاری از مدل‌ها به دلیل وجود مقدار صفر در داده‌های رسوب برآورده، عمل کرد سایر مدل‌ها شامل سینوسی^۱، استدلالی^۲، چندجمله‌ای^۳ درجه دو و سه به واسطه خطای تخمین بالا ($> 69\%$) مناسب نبود.

در انتهای از میان تمامی روابطی که به لحاظ آماری معنی دار بودند، روابطی به عنوان مدل‌های بهینه انتخاب شدند که دارای خطای تخمین و تأیید کمتر و ضریب کارایی بالاتر و مجدور میانگین مربعات خطا کمتر بودند. مجموعه مدل‌های نهایی برتر در جدول ۲ خلاصه شده است. دقّت در جدول ۲ محتوی روابط بهینه برقرار شده بین رسوب مشاهده‌ای و برآورده مدل فرسایش دامنه‌ای HEM در شرایط مختلف شبیه و مقادیر فرسایش پذیری خاک به طور مشخص بر توانایی مدل رشد با ضریب تبیین، خطای تخمین و تأیید، ضریب کارایی و مجدور میانگین مربعات خطا به ترتیب بیش از $0/34$ ، کمتر از 57 و 47 درصد، بیشتر از 773 ، کمتر از $100/02$ و کمتر از $10/49$ درصد، بیشتر از $0/002$ و کمتر از $0/0049$ درصد است.

انتخاب مقادیر فرسایش‌پذیری بر اساس معنی‌داری سطح اعتماد آزمون t و کمترین میزان اختلاف رسوب برآورده نسبت به داده‌های مشاهده‌ای انجام شد. با وجود واستنجه مدل، حداقل خطای تخمین در شبیه‌های ۹، ۱۵، ۲۰ و ۲۵ درصد به ترتیب ۷۵، ۵۸، ۴۹ و ۴۵ درصد برآورد شد که بالاتر از خطای تخمین قابل قبول در مقوله‌های منابع طبیعی است، بنابراین اقدام به مدل سازی بین مقادیر رسوب مشاهده‌ای و برآورده با میزان انتخاب فرسایش‌پذیری خاک شد.

رابطه رگرسیونی میان رسوب مشاهدهای و رسوب تخمینی مدل با مقادیر واسنجی شده فرسایش‌پذیری خاک در حالت‌های خطی، لگاریتمی، توانی، نمایی، معکوس، درجه دو و سه، S شکل، منحنی رشد و ترکیبی در شبیه‌های ۹، ۲۰ و ۲۵ درصد در نرم‌افزار SPSS 11.5 پرازش داده شد. نتایج حاصل از کاربرد HEM با مقادیر واسنجی شده فرسایش‌پذیری خاک و پرازش رگرسیونی در پلات‌های فرسایشی مستقر در شبیه‌های ۹ و ۱۵ درصد مبین عدم وجود ارتباط معنی دار ($P \leq 0.135$) بین برآوردهای مدل با مقادیر واسنجی شده فرسایش‌پذیری و مقادیر مشاهدهای و اندازه‌گیری شده در شکل عادی و تغییر شکل یافته داده‌ها بوده است. همچنین با وجود دستیابی به روابطی با دامنه قابل قبول خطای تخمین کمتر از ۴۰ درصد، مقادیر خطای تأیید مدل بسیار زیاد بیشتر از ۱۳۳ درصد بوده است.

ضریب کارایی رابطه‌های به دست آمده بین $\frac{1}{34}$ و $\frac{1}{9}$ بود که خود تأییدی دیگر بر عدم کارایی این مدل در شیوه‌های 15 و 9 درصد است. نتایج حاصل از www.SID.ir

- 1- Sinusoidal
- 2 Rational
- 3- Polynomials

Archive of SID

(۲۴) در زمینه ارتباط غیرخطی غالب متغیرهای هیدرولوژیکی با یکدیگر توافق کامل دارد.

دلالت داشته است که این موضوع ضمن تأکید بر روند غیرخطی روابط حاکم بین مقادیر تخمینی مدل و مشاهداتی رسوب با یافته‌های محققین پیشین (۱۹) و

جدول ۲- مدل‌های رگرسیونی بهینه و منتخب بین مقادیر مشاهده‌ای (۷) و تخمینی HEM (x) (در پلات‌های مرتعی مستقر در منطقه خسیبجان ار اک)

رابطه	شبیب (درصد)	فرسایش‌پذیری خاک	رابطه	سطح معنی‌داری	خطا (درصد)	ضریب تخمین	ضریب تبیین	ضریب کارایی	مجذور میانگین مربعات خطای
-۰/۰۰۱	-۰/۸۸	۲۹۱	۵۶	-۰/۳۵۵	-۰/۰۴۱	$y = e^{-0.89+4.46x}$	-۰/۰۴۱	-۰/۸۸	-۰/۰۰۱
-۰/۰۰۱	-۰/۸۸	۴۴۷	۵۴	-۰/۳۷۱	-۰/۰۳۵	$y = e^{-0.91+5.178x}$	-۰/۰۳۵	-۰/۸۸	-۰/۰۰۱
-۰/۰۰۱	-۰/۸۸	۴۴۷	۵۷	-۰/۳۳۵	-۰/۰۴۹	$y = e^{-0.88+6.72x}$	-۰/۰۴۹	-۰/۸۸	-۰/۰۰۱
-۰/۰۰۱	-۰/۸۸	۴۵۰	۵۷	-۰/۳۴۴	-۰/۰۴۵	$y = e^{-0.85+7.47x}$	-۰/۰۴۵	-۰/۸۸	-۰/۰۰۱
-۰/۰۰۲	-۰/۸۰	۴۶	۳۵	-۰/۰۸۳	-۰/۰۰۰	$\sqrt{y} = e^{-3.54+10.39\sqrt{x}}$	-۰/۰۰۰	-۰/۸۰	-۰/۰۰۲
-۰/۰۰۲	-۰/۷۸	۴۱	۳۵	-۰/۰۷۸۸	-۰/۰۰۰	$\sqrt{y} = e^{-3.59+12.15\sqrt{x}}$	-۰/۰۰۰	-۰/۷۸	-۰/۰۰۲
-۰/۰۰۲	-۰/۷۳	۶۲	۴۹	-۰/۰۶۵۰	-۰/۰۰۲	$\sqrt{y} = e^{-3.40+10.26\sqrt{x}}$	-۰/۰۰۲	-۰/۷۳	-۰/۰۰۲

بحث و نتیجه‌گیری

اهمیت عوامل مؤثر پوشش گیاهی و تغییر الگوهای بارش بر فرسایش خاک است که با نظر توی و همکاران (۲۰۰۲) در این خصوص موافق است.

از میان روابط بهینه انتخابی، در شبیه‌های ۲۰ و ۲۵ درصد به ترتیب روابط ۱ و ۵ با میزان فرسایش‌پذیری ۸۰/۰ با توجه به معیارهای مدنظر به عنوان بهترین مدل انتخاب شدند. دلیل این امر را می‌توان به محدودیت نوع فرسایش مورد مطالعه، مقیاس مکانی مورد استفاده در این تحقیق و فرآیندهای مدل‌سازی مورد بحث در این مدل را نسبت داد که ضرورت تجدید نظر در مفهوم سازی مدل ذکر شده را تأیید می‌کند. در استفاده از مدل فرسایش دامنه‌ای در پلات‌های استاندارد فرسایشی مستقر در چهار شبیب مورد مطالعه نتایج نشان‌دهنده آن است که HEM بدون واسنجی در شبیه‌های ۹، ۱۵، ۲۰ و ۲۵ درصد قادر به برآورده دقيق میزان رسوب نیست. واسنجی عامل فرسایش‌پذیری خاک و برازش رگرسیونی بین داده‌های مشاهده‌ای و تخمینی دلالت بر عدم کارایی مدل در شبیه‌های ۹ و ۱۵ درصد دارد، حال آنکه در شبیه‌های ۲۰ و ۲۵ درصد با لحاظ ۰/۸ برای عامل فرسایش‌پذیری خاک، روابطی قابل قبول با ضریب تبیین به ترتیب ۰/۳۵۵ و ۰/۰۸۰۳ و خطای تخمین به ترتیب ۵۶ و ۳۵ بدست آمد. نتایج به دست آمده ضمن تأیید

مقایسه میانگین‌های مقادیر رسوب مشاهداتی و برآورده مدل در میزان پیشنهادی فرسایش‌پذیری خاک نشان دهنده عدم اختلاف معنی‌دار در شبیه‌های ۹ و ۱۵ درصد و معنی‌داری اختلاف در شبیه‌های ۲۰ و ۲۵ درصد است. نتایج به دست آمده در این مورد با یافته‌های کوگل و همکاران (۲۰۰۳) و صادقی و همکاران (۲۰۰۹) مبنی بر ناتوانی مدل ذکر شده با مقادیر پیشنهادی فرسایش‌پذیری خاک در برآورد میزان رسوب و همچنین عدم دستیابی به رابطه قابل قبول در این زمینه همخوانی دارد، حال آنکه با نتایج صادقی و همکاران (۲۰۰۸) در زمینه کاربرد مدل ذکر شده در پلات‌های فرسایشی مستقر در مراتع منطقه تالش در استان گیلان ۲۵ همخوانی ندارد. این در حالی است که در شبیب ۱۳۷۴/۲/۲۸ و درصد مدل تنها در رگبارهای ۱۳۷۶/۱/۱۶ دارای تخمین‌های بیشتر از مقدار مشاهداتی است که با یافته‌های کوگل و همکاران (۲۰۰۳) و صادقی و همکاران (۲۰۰۸) در مورد بیش تخمینی مدل در تمامی رگبارها مغایرت دارد، در حالی که با نتایج صادقی و همکاران (۲۰۰۹) مبنی بر برآورده متفاوت مدل در رگبارهای مختلف همخوانی دارد. این رفتار متفاوت مدل‌های فرسایش و رسوب در تخمین مقادیر کم و زیاد فرسایش خاک به دلیل تغییر پذیری

Archive of SID

تحلیل و بررسی مجدد مفهوم حاکم بر فرآیندهای مدل‌سازی مورد استفاده در مدل و مقایسه بین نتایج حاصل از HEM و سایر مدل‌های مورد استفاده در کاربری و شرایط مشابه تحقیق فعلی را برای پژوهش‌های آتی پیشنهاد کرد.

استفاده ساده و راحت مدل از طریق دستیابی به پایگاه مدل ذکرشده بر توانایی متفاوت آن در شبیه‌سازی تولید رسوب ناشی از رگبارهای مشاهده‌ای در منطقه مورد نظر دلالت داشته است. با توجه به نتایج حاصل از تحقیق فعلی و سوابق پیشین موجود علاوه بر دقّت در تأمین و تهیه دقیق اطلاعات ورودی و پارامترهای مدل می‌توان

منابع

1. Agharazi, H.A., 1997. Report on research project on measuring soil erosion and runoff from standard plots for evaluation of the USLE, Markazi Research Center for Agriculture & Natural Resources, 54p. (In Persian)
2. Agharazi, H.A., 2005. Measurement of soil erosion and its estimation by using USLE in dry lands, In: 3rd National Conference on Soil Erosion and Sediment Yield, Tehran, 473-475pp. (In Persian)
3. Bennett, H.H., 2001. Soil conservation, Agro bios, New Delhi, 993p.
4. Cigizoglu, H.K., 2004. Estimation and forecasting of daily suspended sediment data by multi-layer perceptions, Advance in Water Resources, 21: 85-195.
5. Cogle, A.L., L.J. Lane & L. Basher, 2003. Testing the hill slope erosion model for application in India, New Zealand and Australia, Environmental Modeling and Software, 18: 825-830.
6. Das, G., 2000. Hydrology and soil conservation engineering, Prentice-Hall of India Press, 486p.
7. Gandomkar, A.A. 1996. Report on research in Khosbijan station, Markazi Research Center for Agriculture & Natural Resources: 31-36pp, (In Persian).
8. Gholami, L., S.H.R. Sadeghi, A.V. KhalediDaryvishan & A.R. Telvari, 2008. Storm-wise sediment yield prediction using rainfall and runoff Variables, J. Water and Soil, 22(2): 262-271, (In Persian).
9. Green, I.R.A. & D. Stephenson, 1986. Criteria for comparison of single event models, Hydrological Sciences Journal, 31:395-411.
10. Kothiyari, U.C. M. Jain & K. Ranga Raju, 2002. Estimation of temporal variation of sediment yield using GIS, J. Hydrological Sciences, 75: 693-706.
11. Lane, L.J., M.H. Nichols, L.R. Levick & M.R. Kidwell, 2001. A simulation model for erosion and sediment yield at the hillslope scale, In: Landscape Erosion and Evolution Modeling, Harmon R.S. & W.W Doe, (eds). Kluwer Academic Publishers, New York, 201-237pp.
12. Lane, L.J., H.M. Nichols & G.B. Paige, 1995a. Modeling erosion on hill slopes: concepts, theory and data. In: Proceedings of the International Congress on Modeling and Simulation (MODSIM'9), P. Binning, H. Bridgman & B. Williams, (Eds), Perth, Australia, July, 1995, 1: 1-7.
13. Lane., L.J., H.M. Nichols & J.R. Simanton, 1995b. Spatial variability of cover affecting erosion and sediment yield in overland flow, In: Effects of Scale on Interpretation and Management of Sediment and Water Quality, IAHS, 226:147-152.
14. Lane, L.J., E.D. Shirley & V.P. Singh, 1988. Modeling erosion on hill slopes. In: Modeling Geomorphological Systems, Anderson MIG (Ed.), Wiley Chichester: 287-308pp.
15. Lee, Y.H & V.P. Singh, 1999. Prediction of sediment yield by coupling kalman filter with instantaneous unit sediment graph, Hydrological Processes, 13: 2861-2875.
16. Liu, X & J. Li, 2008. Application of SCS model in estimation of runoff from small watershed in Loess Plateau of China, Chinese Geographical Sciences, 18(3): 235-241.
17. Sadeghi, S.H.R., M. Azari & B. GhaderiVangah, 2006. Application, calibration and sensitivity analysis of Hillslope Erosion Model (HEM) in prediction of soil erosion in natural and planted rangelands, J. Agricultural Science and Natural Resources of Khazar,4(1): 1-14, (In Persian).
18. Sadeghi, S.H.R., M. Azari & B. GhaderiVangah, 2008a. Field evaluation of the hill slope Erosion Model (HEM) in Iran, Biosystems Engineering, 99: 304-311.
19. Sadeghi, S.H.R., T. Mizuyama, S. Miyata, T. Gomi, K. Kosugi, T. Fukushima, S. Mizugaki & Y. Onda, 2008b. Development, evaluation and interpretation of sediment rating curves for a Japanese small mountainous reforested watershed, Geoderma, 144: 198-211.
20. Sadeghi, S.H.R., H. Noor, M.B. Raisi & H. Saeidian, 2009. Efficiency of hill slope Erosion Model (HEM) in Rangeland plots in Khosbijan area, Arak, Rangeland Journal, The Scientific and Research J. Iranian Rangeland Management Society, 2(3): 301-313. (In Persian)
21. Sadeghi, S.H.R., H.R. Pourghasemi & M. Mohammadi, 2007. Comparison of accuracy of some soil erosion and sediment yield models in rangeland, Rangeland Journal, The Scientific and Research J. Iranian Rangeland Management Society, 1(1): 91-102. (In Persian)
22. Sadeghi, S.H.R & J.K. Singh, 2005. Development of a synthetic sediment graph using hydrological data, J. Agricultural Science and Technology (JAST), 7: 69-77.
23. Shirley, E.D & L.J. Lane, 1978. A sediment yield equation from an erosion simulation model, Hydrology and Water Resources in Arizona and the Southwest, 8: 90-96.
24. Singh, V P., 1992. Elementary hydrology, prentice-hall, India, 973p.
25. Toy, T.J., G.R. Foster & K.J. Renald, 2002. Soil erosion: processes, prediction, management and control, Mc-Gray Hill, 238p.
26. Wilson, C.J., J.W. Cary, P.C. Beeson, M.O. Grad & L.J. Lane, 2001. A GIS-based hill slope erosion and sediment delivery model and its application in the Cerro Grande Burn Area, Hydrological Processes, 15: 2995-3010.